



مطالعه عددی و آماری کارایی چاه گرمایی استوانه‌ای با مینی کانال‌های منقطع و تولید کننده ورتکس پیچشی

رضا دریس زاده^۱، علیرضا فلاحت^{۲*}

^۱ کارشناسی ارشد، گروه مهندسی مکانیک، واحد ماشین‌آلات، دانشگاه آزاد اسلامی، ماشین‌آلات، ایران.

^۲ استادیار، گروه مهندسی مکانیک، واحد ماشین‌آلات، دانشگاه آزاد اسلامی، ماشین‌آلات، ایران.

مقاله مستقل، تاریخ دریافت: ۱۴۰۳/۰۳/۱۲؛ تاریخ بازنگری: ۱۴۰۳/۱۱/۰۵؛ تاریخ پذیرش: ۱۴۰۴/۰۲/۲۷

چکیده

در مطالعه حاضر، ویژگی‌های جریان سیال و انتقال گرما جریان آب در یک چاه گرمایی استوانه‌ای با مینی کانال‌های منقطع و تولید کننده ورتکس پیچشی به صورت عددی مورد بررسی قرار گرفته است. این مطالعه بر تعیین فاکتورهای تاثیرگذار طراحی و سطح‌های بهینه آنها تمرکز دارد. فاکتورهای طراحی در چهار سطح شامل زاویه تولید کننده ورتکس، عدد رینولدز و فاصله تولید کننده‌های پیچشی از ابتدای بخش منقطع مینی کانال انتخاب شدند. پارامترهای خروجی در این مطالعه شامل عدد ناسلت، ضریب اصطکاک فنینگ و ضریب کارایی گرمایی کل است. برای بررسی تأثیر فاکتورهای طراحی بر پارامترهای خروجی، از روش آماری تاگوچی با آرایه‌های متعامد L16 و آنالیز واریانس استفاده شد. نتایج نشان داد که زاویه تولید کننده ورتکس، عدد رینولدز و فاصله تولید کننده‌های ورتکس، نقش حیاتی با نسبت سهم به ترتیب ۵۹/۶۱٪، ۸۹/۱۱٪ و ۲۲/۱۹٪ در ضریب کارایی گرمایی کل دارند. زاویه پیچش تولید کننده ورتکس، سهم کمی در پارامترهای خروجی دارد. مدل بهینه شده برای عدد ناسلت، ضریب اصطکاک فنینگ و ضریب کارایی گرمایی کل نسبت به مدل اصلی به ترتیب ۱۰۰٪، ۱۶.۸٪ و ۹۴٪ بهبود یافته است.

کلمات کلیدی: چاه گرمایی استوانه‌ای؛ مینی کانال منقطع؛ تولید کننده ورتکس پیچشی؛ روش تاگوچی؛ آنالیز واریانس.

Numerical and statistical study of cylindrical heat sink performance with interrupted minichannels and twisted vortex generator

R. Deriszadeh¹, A.R. Falahat^{2,*}

¹ MSc., Department of Mechanical Engineering, Mahshahr Branch, Islamic Azad University, Mahshahr, Iran

² Assist. Prof., Department of Mechanical Engineering, Mahshahr Branch, Islamic Azad University, Mahshahr, Iran

Abstract

In the current study, fluid flow and heat transfer characteristics of water flow in a cylindrical heat sink with interrupted minichannels and twisted vortex generators are numerically evaluated. This study focuses on the determination of the influential design factors and their optimum levels. The design factors were selected at four levels comprising the angle of the vortex generators, twist angle of the vortex generators, the Reynolds number and the spacing of the vortex generators from the beginning of the interrupted section of minichannels. The output parameters in this study are included the Nusselt number, the Fanning friction factor and the total hydrothermal performance factor. To investigate the effect of design factors on output parameters, Taguchi statistical method with L16 orthogonal arrays and analysis of variance was carried out. The results demonstrated that the vortex generators, the Reynolds number and the spacing of the vortex generators play a vital role in JF with the contribution ratios of 61.59%, 11.89% and 19.22%, respectively. The twist angle of vortex generator has a small contribution to the output parameters. The optimized model is improved by 100%, 16.8% and 94% for Nu, f and JF, respectively, compared with the original model.

Keywords: Cylindrical heat sink; Interrupted minichannel; Twisted vortex generator; Taguchi method; Analysis of variance.

- مقدمه -

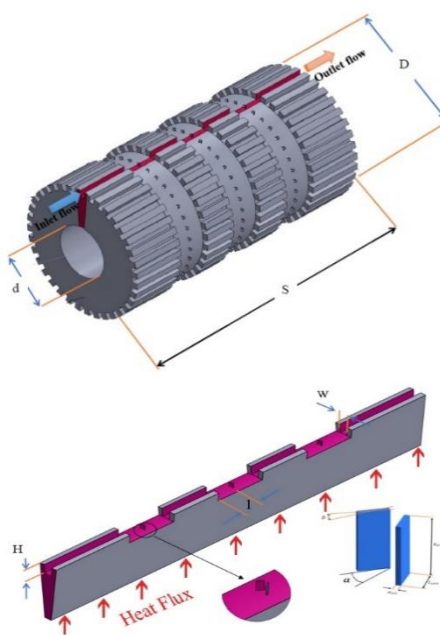
* نویسنده مسئول؛ تلفن: -

آدرس پست الکترونیک: ar.falahat@iau.ac.ir

روش‌های مختلفی برای بهبود انتقال گرما وجود دارد، یکی از روش‌های نوآورانه، استفاده از تولیدکننده ورتسکس در کانال‌ها است. این موضوع مورد توجه بعضی از محققین قرار گرفته است [۱۳-۱۵]. ابراهیمی و همکاران [۱۶] به بررسی عددی انتقال گرما جریان آرام آب در یک میکروکانال مستطیلی با تولیدکننده ورتسکس طولی پرداختند. نتایج آنها نشان داد که تولیدکننده ورتسکس طولی در یک میکروکانال، باعث بهبود چشمگیر انتقال گرما می‌شود. داتا و همکاران [۱۷] به مطالعه عددی مشخصات انتقال گرما و جریان سیال در یک چاه گرمایی میکروکانال با تولیدکننده‌های ورتسکس طولی پرداختند. ترکیب‌های مختلف دو جفت تولیدکننده ورتسکس طولی با زوایای مختلف تولیدکننده ورتسکس و فواصل مختلف آن نسبت به ورودی میکروکانال را در نظر گرفتند. آنها دریافتند که بهترین کارایی کلی چاه گرمایی در زاویه ۳۰ درجه تولید کننده ورتسکس و اعداد رینولدز بالاتر از ۶۰۰۰ اتفاق می‌افتد، در حالیکه برای اعداد رینولدز پایین‌تر، زوایای تولیدکننده ورتسکس بالاتر مناسب تر است. ژانگ و همکاران [۱۸] به بررسی عددی انتقال گرما در چاه گرمایی مستطیلی با تولیدکننده ورتسکس طولی پرداختند. تاثیر طول، عرض، فاصله طولی و تعداد جفت‌های تولیدکننده ورتسکس طولی را مورد تجزیه و تحلیل قرار دادند و از روش تاگوچی برای بهینه‌سازی استفاده نمودند. نتایج آنها نشان داد که تعداد و فاصله طولی تولیدکننده‌های ورتسکس طولی، بیشترین تاثیر را بر عدد رینولدز دارند و همچنین دریافتند که طول و فاصله طولی تولیدکننده‌های ورتسکس، فاکتورهای اصلی تاثیرگذار بر کارایی گرمایی کلی چاه گرمایی می‌باشند. کومار داس و هیریماس [۱۹] یک تحلیل عددی جهت مطالعه تاثیر تولیدکننده ورتسکس بال پروانه ای بر عملکرد گرمایی-هیدرولیکی و تولید انتروپی در یک میکروکانال مستطیلی پرداختند. تاثیر پارامترهایی نظیر ارتفاع، عرض، طول و تعداد تولیدکننده ورتسکس را بررسی نمودند. نتایج عددی آنها نشان داد که تولیدکننده ورتسکس بال پروانه ای، انتقال حرارت جابجایی را بهبود می‌دهد، افت فشار را افزایش و تولید انتروپی را کاهش می‌دهد. محمدی و همکاران [۲۰] یک چاه حرارتی میکروکانال با استفاده از پین-فین‌های ۷ شکل و نانوسیال آب-آلومینا را بررسی نمودند. دو هندسه کلی میکروکانال (مستقیم و ۷ شکل) با چهار حالت متفاوت انقطاع را در نظر گرفتند. نتایج آنها نشان داد که میکروکانال

در سال‌های اخیر، بررسی عملکرد گرمایی و هیدرولیکی چاه‌های گرمایی مینی کانال مورد توجه بسیاری از محققان قرار گرفته است. این موضوع به دلیل استفاده از چاه گرمایی میکروکانال و مینی کانال در بسیاری از سیستم‌های توان بالا نظیر تجهیزات میکروالکترونیک، باتری‌های ماشین‌های هیبریدی، میکرو راکتورها وغیره است [۱-۳؛ بنابراین، ارائه یک تکنیک خنک‌کننده‌گی موثر برای بهبود انتقال گرما در چاه‌های گرمایی، ضروری است.

چاه‌های گرمایی میکروکانال و مینی کانال با توجه به شکل منبع گرمایی به دو دسته تخت و استوانه‌ای تقسیم می‌گردد. که در خصوص کارایی چاه‌های گرمایی استوانه‌ای، تحقیقات نسبتاً کمی صورت گرفته است [۴-۷]. فان و همکاران [۸]، مشخصات گرمایی و هیدرولیکی جریان آب در یک چاه گرمایی استوانه‌ای مینی کانال جدید با فین‌های بربده شده مایل را بررسی نمودند و دریافتند که عدد ناسلت میانگین در این چاه گرمایی نسبت به چاه گرمایی معمولی با مینی کانال‌های گرمایی افزایش می‌یابد و افت فشار در این چاه گرمایی تقریباً برابر با چاه گرمایی معمولی با مینی کانال‌های مستقیم می‌باشد. فلاحت و همکاران [۹-۶۰] مشخصات گرمایی-هیدرولیکی و تولید انتروپی جریان آب در یک چاه گرمایی استوانه‌ای جدید با مینی کانال‌های مارپیچ را بصورت تجربی و عددی بررسی نمودند. نتایج آن‌ها نشان داد که با افزایش زاویه مارپیچ مینی کانال‌ها، عدد ناسلت و ضریب اصطکاک سیال کاهش می‌یابد و تولید انتروپی کل افزایش می‌یابد. همچنین جهت محاسبه عدد ناسلت و ضریب اصطکاک، دو رابطه همبستگی جدید پیشنهاد دادند. خلیفا و جفال [۱۱] به بررسی عددی و تجربی کارایی گرمایی و هیدرولیکی چاه گرمایی استوانه‌ای با مینی کانال‌های مستقیم، موجی و مارپیچ پرداختند. آنها دریافتند که بهترین کارایی گرمایی-هیدرولیکی مربوط به چاه گرمایی با مینی کانال‌های مارپیچ است. عبدالحليم و همکاران [۱۲] مشخصات گرمایی-هیدرولیکی و تولید انتروپی یک چاه گرمایی استوانه‌ای با مینی کانال‌های هیبریدی مستقیم و موجی را بصورت عددی بررسی نمودند. نتایج آنها نشان داد که کارایی گرمایی-هیدرولیکی مینی کانال‌های هیبریدی بهتر از مینی کانال‌های مستقیم است؛ همچنین مشاهده نمودند که افزایش نسبت دامنه موج منجر به افزایش عدد ناسلت و کاهش تولید انتروپی می‌گردد.



شکل ۱- چاه گرمایی استوانه ای با مینی کانال های منقطع شامل تولید کننده ورتكس پیچشی و ناحیه محاسباتی

جدول ۱- پارامترهای هندسی چاه گرمایی استوانه ای با مینی کانال های منقطع و تولید کننده ورتكس پیچشی

پارامتر هندسی	مقدار
طول چاه گرمایی (S)	۵۰ میلیمتر
قطر چاه گرمایی (D)	۲۵ میلیمتر
قطر گرمکن (d)	۱۰ میلیمتر
ارتفاع مینی کانال (H)	۱/۲ میلیمتر
عرض مینی کانال (W)	۱ میلیمتر
طول بخش های منقطع	۶ میلیمتر
زاویه تولید کننده ورتكس (α)	۶۰، ۴۵، ۳۰، ۱۵ درجه
زاویه پیچش تولید کننده ورتكس (β)	۴۵، ۳۰، ۱۵ درجه
فاصله تولید کننده های ورتكس از ابتدای ناحیه منقطع (l)	۴، ۳، ۲، ۱ میلیمتر
ارتفاع تولید کننده ورتكس (H_{LVG})	۱ میلیمتر
طول تولید کننده ورتكس (L_{LVG})	۰/۳ میلیمتر
عرض تولید کننده ورتكس (W_{LVG})	۰/۰۵ میلیمتر

۲-۲- معادلات حاکم و شرایط مرزی

جهت تجزیه و تحلیل انتقال حرارت مزدوج سه بعدی در چاه

های منقطع سبب افزایش انتقال گرما در مقایسه با هندسه های مستقیم می شوند و همچنین افزایش غلظت نانوذرات، باعث بهبود عملکرد هیدرولیکی- گرمایی می گردد. هدف اصلی مطالعه حاضر، بررسی عددی مشخصات گرمایی- هیدرولیکی جریان سیال آب در یک چاه گرمایی استوانه ای با مینی کانال های مستقیم منقطع شامل تولید کننده ورتكس طولی پیچشی است. تاثیر فاکتورهای طراحی، نظیر زاویه تولید کننده ورتكس نسبت به محور طولی، عدد رینولدز، زاویه پیچش تولید کننده ورتكس و موقعیت تولید کننده ورتكس در محل های انقطاع بر عملکرد گرمایی- هیدرولیکی چاه گرمایی استوانه ای بررسی می گردد. از روش تاگوچی [۲۴-۲۱] و آنالیز واریانس جهت تجزیه و تحلیل حساسیت عوامل طراحی و مشخص کردن درصد سهم هر فاکتور بر پارامترهای خروجی استفاده شده است و بهترین سطح هر فاکتور برای پارامترهای خروجی، مشخص می گردد. پارامترهای خروجی شامل عدد ناسلت، ضریب اصطکاک فانینگ و ضریب کارایی کلی است. تجزیه و تحلیل آماری نتایج عددی برای تعیین سهم عوامل طراحی بر عملکرد هیدرولیکی استوانه ای جدید با مینی کانال های منقطع شامل تولید کننده ورتكس پیچشی نوآوری مطالعه حاضر است.

۲- روش شبیه سازی عددی

۲-۱- بیان مساله

چاه گرمایی استوانه ای با مینی کانال های منقطع شامل تولید کننده های ورتكس پیچشی و ناحیه محاسباتی در شکل ۱ نشان داده شده است. این چاه گرمایی شامل ۳۶ مینی کانال منقطع است که تولید کننده های ورتكس پیچشی در قسمت های منقطع مینی کانال ها قرار دارند. هر مینی کانال شامل سه بخش منقطع است که در هر بخش یک جفت تولید کننده ورتكس پیچشی قرار دارد. سیال خنک کننده آب و جنس چاه گرمایی مس است. یک مینی کانال مستقیم منقطع با شرط مرزی تناوبی به عنوان ناحیه محاسباتی جهت به حداقل رساندن تعداد شبکه و زمان محاسبات در نظر گرفته شده است. ناحیه محاسباتی شامل بخش های سیال و جامد است و پارامترهای هندسی چاه گرمایی مورد نظر در جدول ۱ نشان داده شده است.

$$\begin{aligned} -k_s \nabla T_s &= -k_f \nabla T_f \quad T_s = T_f \\ u &= v = w = 0 \end{aligned}$$

سطح مشترک جامد و
سیال

۲-۳- پارامترهای مورد بررسی

پارامترهای خروجی در این پژوهش به صورت زیر تعریف می‌گردد. لازم به ذکر است که دما، فشار و سرعت سیال با استفاده از میانگین وزنی جرمی و دمای سطح مینی کانال‌ها از میانگین وزنی سطحی در نرم افزار فلوبنت اندازه‌گیری می‌گردد.

عدد رینولدز و قطر هیدرولیکی مینی کانال‌ها بصورت روابط زیر تعریف می‌گردد:

$$Re = \frac{\rho_{in} u_{in} D_h}{\mu_{in}} \quad (5)$$

$$D_h = \frac{2WH}{(W+H)} \quad (6)$$

ضریب اصطکاک فانینگ طبق رابطه زیر محاسبه می‌گردد:

$$f = \frac{\Delta P D_h}{2S \rho f u_{in}^2} \quad (7)$$

که در رابطه فوق، ΔP و S به ترتیب، افت فشار در مینی کانال و طول مینی کانال منقطع با تولیدکننده ورتكس پیچشی می‌باشد.

ضریب انتقال گرمایی جابجایی و عدد ناسلت میانگین، طبق روابط زیر محاسبه می‌گردد:

$$h = \frac{q}{A_c \left[T_w - \left(\frac{T_{in} + T_{out}}{2} \right) \right]} \quad (8)$$

$$Nu = \frac{h D_h}{k_f} \quad (9)$$

که در روابط فوق، q ، T_w و A_c به ترتیب، گرمایی جذب شده توسط سیال، دمای سطح انتقال گرمایی جابجایی مینی کانال منقطع با تولیدکننده ورتكس پیچشی و سطح انتقال گرمایی است.

ضریب کارایی گرمایی کل با استفاده از رابطه زیر محاسبه می‌گردد [۱۰]:

گرمایی استوانه‌ای با مینی کانال‌های منقطع و تولیدکننده ورتكس پیچشی، فرض گردیده است که سیال نیوتونی، تراکم ناپذیر، آرام و پایدار باشد و از جابجایی طبیعی، تشعشع و اتلاف لرجت صرفنظر گردیده است [۲۰]. خواص ترموفیزیکی سیال و جامد، به ترتیب وابسته به دما [۲۵] و ثابت در نظر گرفته شده است. با توجه به فرض‌های در نظر گرفته شده، معادلات حاکم برای سیال و جامد بصورت زیر است:

$$\nabla \cdot (\vec{V}) = 0 \quad (1)$$

$$\rho_f (\vec{V} \cdot \nabla \cdot \vec{V}) = -\nabla P + \mu_f \nabla^2 (\vec{V}) \quad (2)$$

$$\vec{V} \cdot \nabla \cdot T = \frac{k_f}{\rho_f C_{pf}} \nabla^2 T \quad (3)$$

معادله انرژی برای بخش جامد چاه گرمایی، بصورت زیر است:

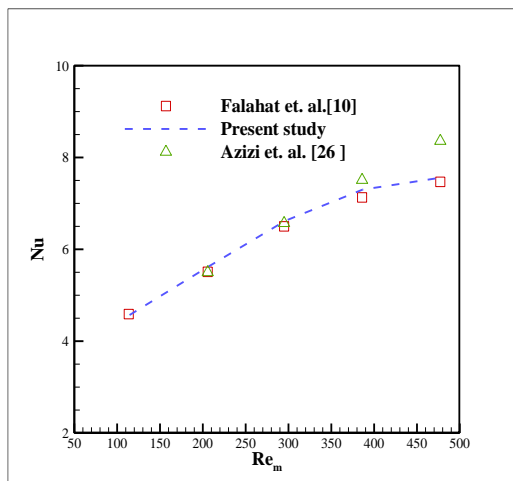
$$\nabla^2 T_s = 0 \quad (4)$$

جهت حل معادلات حاکم فوق، باید شرایط مرزی مناسب در نظر گرفته شود. شرایط مرزی برای چاه گرمایی استوانه‌ای در جدول ۲ نشان داده شده است.

جدول ۲- شرایط مرزی هیدرودینامیک و گرمایی چاه گرمایی استوانه‌ای با مینی کانال‌های منقطع و تولید کننده ورتكس پیچشی

شرایط	مرزها
$u = u_{in} = 0.127 - 0.382 \text{ m/s}$	وروودی مینی کانال‌ها
$T_f = T_{in} = 297 \text{ K}$	منقطع
$P = P_{out} = 0$	خروجی مینی کانال‌ها
$q'' = 190 \text{ W/cm}^2$	دیواره پایین چاه گرمایی (محل گرمه)
بریویدیک	دیواره های کناری چاه گرمایی
$-k_s \nabla T_s = 0$	دیواره جلویی و پشتی چاه گرمایی و دیواره بالای مینی کانال‌ها و فین‌ها

(Re_m) در این شکل بر اساس خواص ترموفیزیکی سیال در دمای میانگین سیال در ورودی و خروجی مینی کanal‌ها محاسبه گردیده است. مشاهده می‌گردد که تطابق خوبی بین نتایج عددی با نتایج تجربی و رابطه همبستگی برقرار است. ماکریتم خطای نسبی به ترتیب با نتایج تجربی فلاحت و همکاران [۱۰] و رابطه همبستگی عزیزی و همکاران [۲۶] در حدود ۲/۳۸٪ و ۹/۵۷٪ است.



شکل ۲- مقایسه نتایج عددی با نتایج فلاحت و همکاران [۱۰] و عزیزی و همکاران [۲۶]

۳- الگوریتم تاگوچی و آنالیز واریانس
در این پژوهش جهت بهینه نمودن شرایط عملیاتی و پارامترهای هندسی چاه گرمایی استوانه ای با مینی کanal‌های منقطع و تولیدکننده ورتكس پیچشی، از روش تاگوچی استفاده شده است. این روش، یک روش اصلاح شده و استاندارد شده جهت طراحی آزمایش که بهینه‌سازی را بر اساس نظریه آمار و احتمال ریاضی انجام می‌دهد. این روش با استفاده از آرایه‌های متعدد تعداد آزمایشات یا شبیه‌سازی‌ها را کاهش می‌دهد. در این روش بجای تغییر یک به یک فاکتورهای در نظر گرفته شده، تغییر فاکتورها بطور همزمان با استفاده از آرایه‌های متعدد انجام می‌گردد. تولید جدول آزمایشات بر اساس فاکتورهای مورد نظر و سطوح آن‌ها به گونه‌ای است که کمترین تعداد آزمایشات یا شبیه سازی‌ها، فقط نتایج ضروری در نظر گرفته خواهد شد [۲۷]. جدول ۴، فاکتورهای مورد نظر در پژوهش حاضر و سطوح آن‌ها را نشان می‌دهد. تعداد

$$JF = (\text{Nu}/\text{Nu}_0)(f/f_0)^{-1/3} \quad (10)$$

که در این رابطه، اندیس ۰ مربوط به شرایطی است که مینی کanal مستقیم بدون انقطاع و تولیدکننده ورتكس پیچشی است.

۴-۲- روش حل عددی، مطالعه شبکه و اعتبار سنجی

در پژوهش حاضر، معادلات حاکم با استفاده از روش حجم محدود توسط نرم افزار فلورنت با حلگر تفکیک شده مبتنی بر فشار دو دقته، حل گردیده است. جهت کوپلینگ سرعت و فشار از الگوریتم سیمپل استفاده شده است. گسته‌سازی معادلات مومنتم و انرژی با استفاده از روش بالادست مرتبه دوم انجام شده است. معیار همگرایی برای معادلات پیوستگی و مومنتم کمتر از 10^{-6} و برای معادله انرژی کمتر از 10^{-9} از در نظر گرفته شده است. جهت بدست آوردن نتایج با دقت بالاتر، استقلال شبکه برای همه مدل‌ها انجام شده است. برای هریک از مدل‌ها، چهار سیستم شبکه بی‌سازمان تولید شده است. بطور مثال نتایج برای چاه گرمایی استوانه‌ای در عدد رینولدز ۳۵۰، زاویه تولید کننده ورتكس ۳۰ درجه، زاویه پیچش تولیدکننده ورتكس صفر درجه و فاصله تولیدکننده ورتكس ابتدای ناحیه منقطع ۳ میلیمتر در جدول ۳ نشان داده شده است. مشاهده می‌گردد که از تعداد شبکه ۲۳۴۹۰۹۱ با توجه به درصد خطای نسبی در این جدول، عدد ناسلت تغییر زیادی نداشته و به همین منظور، سومین سیستم شبکه جهت محاسبات انتخاب شده است.

جدول ۳- نتایج استقلال از شبکه

تعداد شبکه	Nu	$\frac{ \text{Nu}_{\text{base}} - \text{Nu} }{\text{Nu}_{\text{base}}} \times 100$
1100818	11/61	1/53
1940220	11/76	0/25
2349091	11/78	0/08
2786036	11/79	base

برای اعتبارسنجی نتایج شبیه‌سازی عددی پژوهش حاضر، نتایج بدست آمده با نتایج تجربی فلاحت و همکاران [۱۰] و رابطه همبستگی عزیزی و همکاران [۲۶] مقایسه گردیده است. شکل ۲، این مقایسه را برای عدد ناسلت برای چاه گرمایی استوانه ای با مینی کanal‌های بدون انقطاع و بدون تولیدکننده ورتكس را نشان می‌دهد. لازم به ذکر است که عدد رینولدز

$$SS_K = N_K \sum (\bar{y}_{kj} - \bar{y}_{ij})^2 \quad (13)$$

$$SS_T = \sum (y_{ij} - \bar{y}_{ij})^2 \quad (14)$$

$$V_K = \frac{SS_K}{DF_K} \quad (15)$$

$$CR_K = \frac{SS_K}{SS_T} \quad (16)$$

که در معادلات فوق، N_K ، CR_K ، V_K ، SS_T ، SS_K و DF_K به ترتیب برابر مجموع مجذورات فاکتور K ، مجموع مجذورات کل تغییرات، واریانس فاکتور K ، درصد مشارکت هر فاکتور و تکرار فاکتور K در هر سطح است.

جدول ۵- آرایه متعامد L_{16} برای پژوهش حاضر

آزمایش	Re	فاکتور			n
		α (deg)	β (deg)	l(mm)	
1	150	15	0	1	
2	150	30	15	2	
3	150	45	30	3	
4	150	60	45	4	
5	250	15	15	3	
6	250	30	0	4	
7	250	45	45	1	
8	250	60	30	2	
9	350	15	30	4	
10	350	30	45	3	
11	350	45	0	2	
12	350	60	15	1	
13	450	15	45	2	
14	450	30	30	1	
15	450	45	15	4	
16	450	60	0	3	

۴- نتایج و بحث

۱-۴- نتایج نسبت سیگنال به نویز

جدول ۶، نتایج شبیه‌سازی عددی و نسبت سیگنال به نویز برای شانزده مدل طراحی شده بر اساس الگوریتم تاگوچی را برای عدد ناسلت، ضریب اصطکاک فانینگ و کارایی گرمایی کل را نشان می‌دهد. در این پژوهش، هدف، مقادیر کمتر ضریب اصطکاک فانینگ و مقادیر بالاتر عدد ناسلت و ضریب

فاکتورها و سطوح آن‌ها هر کدام برابر چهار است که بر اساس این تعداد فاکتور و این تعداد سطح، تعداد کل شبیه‌سازی‌ها در روش فاکتوریل کامل برابر ۲۵۶ عدد است. بر اساس روش تاگوچی و آرایه متعامد L_{16} ، تعداد شبیه‌سازی‌ها بصورت چشمگیری کاهش می‌یابد و بجاورد ۲۵۶ عدد به ۱۶ عدد کاهش خواهد یافت. آرایه متعامد L_{16} برای فاکتورهای مورد نظر این پژوهش و سطوح مربوط به آن‌ها در جدول ۵ نشان داده شده است. در طراحی آزمایش توسط روش تاگوچی برای آنالیز کیفیت از نسبت سیگنال به نویز استفاده می‌شود که برای حالت‌های کوچکترین بهترین است و بزرگترین بهترین است به ترتیب توسط روابط (۱۱) و (۱۲) محاسبه می‌گردد [۲۸]:

$$SNR_S = -10 \times \log \left[\frac{1}{n} \sum_{i=1}^n y_i^2 \right] \quad (11)$$

$$SNR_L = -10 \times \log \left[\frac{1}{n} \sum_{i=1}^n \frac{1}{y_i^2} \right] \quad (12)$$

که در روابط فوق، y_i از شبیه‌سازی‌های عددی بدست خواهد آمد و n تعداد تکرارهای شبیه‌سازی است.

جدول ۴- فاکتورهای انگذار و سطوح آن‌ها

فاکتورهای طراحی	سطح			
	1	2	3	4
A: Re	150	250	350	450
B: α (deg)	15	30	45	60
C: β (deg)	0	15	30	45
D: l(mm)	1	2	3	4

آنالیز واریانس (ANOVA) یک روش آماری استاندارد دیگر برای بهینه کردن و تجزیه و تحلیل دقیق داده‌های آرایه شده توسط روش تاگوچی و تعیین درصد مشارکت فاکتورهای طراحی می‌باشد [۲۸]. در این روش با استفاده از مفاهیم آماری مانند مجموع مجذورات، پارامترهایی نظری درصد سهم و واریانس یک فاکتور در پارامترهای خروجی بدست می‌آید. نتایج آنالیز واریانس برای پارامترهای خروجی این مطالعه، بر اساس معادلات زیر بدست می‌آید [۲۹]:

ناحیه منقطع، انتقال گرما افزایش می‌یابد که دلیل آن این است که تولید کننده ورتكس توسط سرعت بالای جریان در ورود به بخش منقطع تحت تاثیر قرار می‌گیرد و باعث ایجاد شدت تلاطم بالاتر در جریان می‌گردد و به توسعه ورتكس پشت تولید کننده ورتكس کمک می‌کند. وجود تولید کننده ورتكس علاوه بر اینکه سطح انتقال گرما را افزایش می‌دهد باعث اختلاط بیشتر سیال می‌گردد و در نتیجه، دمای دیواره مینی کانال را کاهش می‌دهد و انتقال گرما را بهبود می‌بخشد. با توجه به جدول ۷ مدل بهینه A4B4C1D1 برای بهبود انتقال گرما، مناسب‌تر است.

جدول ۷- میانگین نسبت سیگنال به نویز برای عدد ناسلت

Level	A	B	C	D
1	17/01	19/76	20/27	20/57
2	19/64	19/91	20/10	20/51
3	21/29	20/22	20/06	19/82
4	22/58	20/63	20/08	19/62
Delta	5/56	0/86	0/21	0/94
Rank	1	3	4	2

نسبت سیگنال به نویز چهار فاکتور طراحی در سطوح مختلف برای ضریب اصطکاک فانینگ در جدول ۸ نشان داده شده است. لازم به ذکر است که در این جدول، افزایش نسبت سیگنال به نویز، به معنای کاهش ضریب اصطکاک فانینگ است. نسبت سیگنال به نویز ضریب اصطکاک با افزایش عدد رینولدز و کاهش زاویه تولید کننده ورتكس، کاهش و با افزایش زاویه پیچش تولید کننده ورتكس و افزایش فاصله تولید کننده ورتكس از ابتدای ناحیه منقطع، کاهش می‌یابد. لازم به ذکر است با افزایش زاویه تولید کننده ورتكس، جابجایی عرضی خطوط جریان بزرگ‌تر شده و در نتیجه، طول پیموده شده توسط سیال افزایش می‌یابد که منجر به بزرگ‌تر شدن افت فشار و ضریب اصطکاک می‌گردد. این یافته با نتایج بدست آمده توسط داتا و همکاران [۱۷] مطابقت دارد. همچنین، افزایش زاویه تولید کننده ورتكس انسداد جریان سیال را بیشتر می‌کند و باعث افزایش افت فشار و ضریب اصطکاک می‌گردد. با توجه به این جدول، بدیهی است که عدد رینولدز و زاویه تولید کننده

کارایی گرمایی کل است.

جدول ۶- نتایج عددی و نسبت سیگنال به نویز

شماره آزمایش	Nu	SNR _{Nu}	f	SNR _f	JF	SNR _{JF}
1	7/14	17/074	0/0847	21/442	1/304	2/306
2	7/16	17/098	0/0837	21/545	1/312	2/357
3	7/08	17/001	0/0838	21/535	1/297	2/259
4	6/98	16/877	0/0836	21/556	1/280	2/144
5	8/77	18/860	0/0597	24/481	1/410	2/984
6	9/26	19/332	0/0630	24/013	1/470	3/346
7	10/08	20/069	0/0649	23/755	1/580	3/973
8	10/34	20/290	0/0679	23/363	1/60	4/082
9	10/36	20/307	0/0490	26/196	1/460	3/287
10	10/65	20/547	0/0492	26/161	1/50	3/521
11	12/33	21/819	0/0581	24/716	1/640	4/296
12	13/3	22/477	0/0620	24/152	1/940	5/756
13	13/83	22/816	0/0509	25/866	1/640	4/297
14	13/56	22/645	0/0466	26/632	1/660	4/402
15	12/55	21/973	0/0463	26/688	1/530	3/694
16	13/91	22/867	0/0533	25/465	1/620	4/190

نسبت سیگنال به نویز برای هر پارامتر خروجی، با استفاده از روابط ۱۱ و ۱۲، تعیین شده و در جدول‌های ۷ تا ۹ نشان داده شده است. تجزیه و تحلیل آماری داده‌ها حاصل از شبیه‌سازی‌های عددی با استفاده از نرم افزار مینی تب (Minitab 20) انجام شده است.

نسبت سیگنال به نویز فاکتورهای طراحی در سطوح مختلف برای عدد ناسلت در جدول ۷ نشان داده شده است. مشاهده می‌گردد که به ترتیب عدد رینولدز، فاصله تولید کننده ورتكس از ابتدای ناحیه منقطع و زاویه تولید کننده ورتكس، تاثیر قابل توجهی بر عدد ناسلت دارند که مقادیر تاثیر آن‌ها طبق جدول ۷ برای عدد رینولدز، فاصله تولید کننده ورتكس از ابتدای ناحیه منقطع و زاویه تولید کننده ورتكس به ترتیب برابر ۰/۸۶ و ۰/۹۴، ۵/۵۶ و ۵/۵۶ است. دلیل آن این است که با افزایش عدد رینولدز، ضخامت لایه مرزی کم می‌گردد و همچنین اختلاط جریان افزایش می‌یابد و انتقال گرما را افزایش می‌دهد. با کاهش فاصله تولید کننده ورتكس نسبت به ابتدای

جدول ۹- میانگین نسبت سیگنال به نویز برای ضرب

کارایی گرمایی کل

Level	A	B	C	D
1	2/27	3/22	3/54	4/11
2	3/60	3/41	3/70	3/76
3	4/22	3/56	3/51	3/24
4	4/15	4/04	3/48	3/12
Delta	1/95	0/83	0/21	0/99
Rank	1	3	4	2

با توجه به شرایط بهینه در جدول‌های ۷ تا ۹، مقدار پارامترهای خروجی مدل‌های بهینه شده، بدست آمده و در جدول ۱۰ نشان داده شده است. چاه گرمایی استوانه‌ای با مینی کانال‌های بدون انقطاع و بدون تولید گننده ورتكس در عدد رینولدز ۴۵۰ به عنوان مدل اصلی در نظر گرفته شد. با توجه به جدول ۱۰، مشاهده می‌گردد که عدد ناسلت، ضرب اصطکاک فانینگ و ضرب کارایی گرمایی کل مدل‌های بهینه شده به ترتیب ۱۰۰٪، ۱۶/۸٪ و ۹۴٪ نسبت به مدل اصلی افزایش یافته است.

جدول ۱۰- مقایسه مدل‌های بهینه شده با مینی کانال مستقیم بدون تولید گننده ورتكس

پارامتر خروجی	اختلاف (%)	مدل بهینه شده	مدل اصلی
Nu	7/53	15/06	100
f	0/0368	0/043	16/8
JF	1	1/94	94

۲-۴- آنالیز واریانس

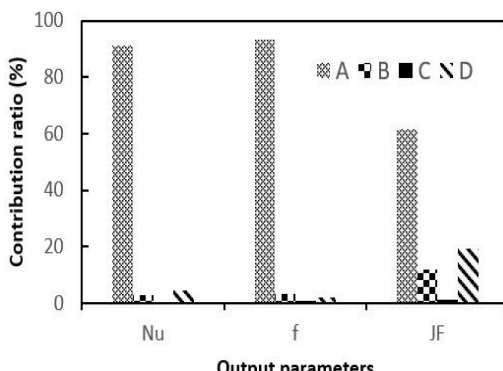
نتایج آنالیز واریانس برای پارامترهای خروجی این تحقیق در جدول‌های ۱۱ تا ۱۳ نشان داده شده است. بررسی نتایج نشان می‌دهد که نسبت سهم عدد رینولدز در عدد ناسلت، ضرب اصطکاک فانینگ و ضرب کارایی گرمایی کل به ترتیب برابر ۹۱/۲۶٪، ۹۳/۳۷٪ و ۶۱/۵۹٪ است؛ همچنین ۱۹/۲۲٪ از نسبت سهم کل ضرب کارایی گرمایی کل، مربوط به فاصله تولید گننده ورتكس از ابتدای بخش منقطع و زاویه تولید گننده ورتكس است. ترتیب برابر ۴/۴۶٪ و ۲/۰۹٪ است. بررسی دقیق تر نتایج نشان می‌دهد که سهم زاویه تولید گننده ورتكس بر پارامترهای

ورتكس، تاثیر بیشتری بر ضرب اصطکاک فانینگ دارد. مقدار تاثیر عدد رینولدز و زاویه تولید گننده ورتكس به ترتیب برابر ۴/۶۴ و ۰/۹۵ است. با توجه به جدول ۸ مدل بهینه A4B2C3D4 برای کاهش تلفات اصطکاک و صرفه جویی در قدرت پمپاژ، مناسب‌تر است.

جدول ۸- میانگین نسبت سیگنال به نویز برای ضرب اصطکاک فانینگ

Level	A	B	C	D
1	21/52	24/50	23/91	24/00
2	23/90	24/59	24/22	23/87
3	25/31	24/17	24/43	24/41
4	26/16	23/63	24/33	24/61
Delta	4/64	0/95	0/52	0/74
Rank	1	2	4	3

نسبت سیگنال به نویز چهار فاکتور طراحی در سطوح مختلف برای ضرب کارایی گرمایی کل در جدول ۹ نشان داده شده است. بزرگتر از یک بودن مقدار ضرب کارایی گرمایی کل، بدین معنا است که بهبود انتقال گرما بر افزایش افتشار غلبه نموده است. با توجه به جدول ۶، مشاهده می‌گردد که ضرب کارایی گرمایی کل در تمامی، بزرگتر از یک است. با توجه به جدول ۹، موثرترین فاکتورها بر ضرب کارایی گرمایی کل، به ترتیب، عدد رینولدز، فاصله تولید گننده ورتكس از ابتدای بخش منقطع و زاویه تولید گننده ورتكس است. لازم به ذکر است که زاویه پیچش تولید گننده ورتكس، کمترین تاثیر را بر ضرب کارایی گرمایی کل دارد. همان گونه که در جدول ۹ مشاهده می‌شود، مقدار اثرهای عدد رینولدز، فاصله تولید گننده ورتكس از ابتدای بخش منقطع و زاویه تولید گننده ورتكس به ترتیب ۰/۸۳، ۱/۹۵ و ۰/۹۹ است. نتیجه گرفته می‌شود که استفاده همزمان از تولید گننده ورتكس در چاه‌های گرمایی استوانه‌ای با مینی کانال‌های منقطع، ضرب کارایی گرمایی کل را افزایش می‌دهد. با توجه به جدول ۹ مدل بهینه برای ضرب کارایی گرمایی کل (مدل A3B4C2D1) است.



شکل ۳- نسبت سهم فاکتورهای طراحی بر پارامترهای خروجی تحقیق

۴- تایید آزمایش ها
 آزمایش تاییدیه، آخرین مرحله در فرآیند طراحی آزمایش است. بعد از مشخص شدن شرایط بهینه برای عدد ناسلت، ضریب اصطکاک فانینگ و ضریب کارایی گرمایی کل، آزمایش های تاییدیه در سطوح بهینه فاکتورها برای عدد ناسلت (A4B2C3D4)، ضریب اصطکاک فانینگ (A4B4C1D1) و ضریب کارایی گرمایی کل (A3B4C2D1)، کل انجام شد. نسبت سیگنال به نویز پیش‌بینی شده (η_{Pr})، برای عدد ناسلت، ضریب اصطکاک فانینگ و ضریب کارایی گرمایی کل در شرایط بهینه به ترتیب، با استفاده از معادلات (۱۷) تا (۱۹) محاسبه گردید:

$$\begin{aligned} \eta_{Pre} &= \eta_{A4} + \eta_{B4} + \eta_{C1} + \eta_{D1} - \\ 3\bar{\eta} &= 22.58 + 20.63 + 20.27 + \\ 20.57 - 3(20.13) &= 23.66 \text{ dB} \end{aligned} \quad (17)$$

$$\begin{aligned} \eta_{Pre} &= \eta_{A4} + \eta_{B2} + \eta_{C3} + \eta_{D4} - \\ 3\bar{\eta} &= 26.16 + 24.59 + 24.43 + \\ 24.61 - 3(24.22) &= 27.13 \text{ dB} \end{aligned} \quad (18)$$

$$\begin{aligned} \eta_{Pre} &= \eta_{A3} + \eta_{B4} + \eta_{C2} + \eta_{D1} - \\ 3\bar{\eta} &= 4.22 + 4.04 + 3.70 + 4.11 - \\ 3(3.56) &= 5.39 \text{ dB} \end{aligned} \quad (19)$$

که در معادلات فوق مقادیر $\bar{\eta}$ برای عدد ناسلت، ضریب اصطکاک فانینگ و ضریب کارایی گرمایی کل از جدول های (۷) تا (۹) استخراج شده است و مقادیر نسبت میانگین سیگنال به نویز برای هر پارامتر با توجه به جدول (۶) محاسبه گردیده

خروجی، حداقل ۱۱/۸۹٪ است. ماقریزم سهم زاویه پیچش تولیدکننده ورتكس بر پارامترهای خروجی برابر ۱/۲۸٪ است و می‌توان نتیجه گرفت که اثر این فاکتور بر پارامترهای خروجی، ناچیز است. جهت نشان دادن بهتر نتایج حاصل از تحلیل واریانس، بر اساس جدول های ۱۱ تا ۱۳، نسبت سهم هر فاکتور طراحی بر پارامترهای خروجی در شکل ۳ نشان داده شده است.

جدول ۱۱- آنالیز واریانس برای عدد ناسلت

Design factor	DF	Sum of squares (SS)	Variance (V)	Contribution
A	3	90/1204	30/0401	91/26%
B	3	2/9417	0/9806	2/98%
C	3	0/2457	0/0819	0/25%
D	3	4/4025	1/4675	4/46%
Error	3	1/0376	0/3459	1/05%
Total	15	98/7480		100/00%

جدول ۱۲- آنالیز واریانس برای ضریب اصطکاک فانینگ

Design factor	DF	Sum of squares (SS)	Variance (V)	Contribution
A	3	0/002796	0/000932	93/37%
B	3	0/000092	0/000031	3/08%
C	3	0/000021	0/000007	0/70%
D	3	0/000062	0/000021	2/09%
Error	3	0/000023	0/000008	0/76%
Total	15	0/002995		100/00%

جدول ۱۳- آنالیز واریانس برای ضریب کارایی گرمایی کل

Design factor	DF	Sum of squares (SS)	Variance (V)	Contribution
A	3	0/283547	0/094516	61/59%
B	3	0/054752	0/018251	11/89%
C	3	0/005887	0/001962	1/28%
D	3	0/088472	0/029491	19/22%
Error	3	0/027722	0/009241	6/02%
Total	15	0/460378		100/00%

ای مهم باشد.

۶- علایم و نشانه‌ها

سطح انتقال گرما، m^2	A_{ht}
درصد مشارکت هر فاکتور	CR_K
گرمای ویژه در فشار ثابت، $J/kg K$	C_p
قطر هیدرولیکی، m	D_h
ضریب اصطکاک فانینگ	f
ارتفاع مینی کانال، m	H
ضریب انتقال گرما، $W/m^2 K$	h
فاکتور کارایی گرمایی کل	JF
ضریب هدایت گرمایی، $W/m K$	k
عدد ناسلت	Nu
فشار، Pa	P
گرمای جذب شده توسط سیال، W	q
عدد رینولدز	Re
طول چاه گرمایی، m	S
مجموع مجذورات فاکتور	SS_K
مجموع مجذورات کل تغییرات	SS_T
دما، K	T
m/s	u
واریانس فاکتور	V_K
عرض مینی کانال، m	W
میانگین هر فاکتور در سطح X	\bar{x}_{Xj}
میانگین نسبت سیگنال به نویز هر فاکتور	\bar{x}_{ij}
میانگین نسبت سیگنال به نویز هر آزمایش	x_{ij}
مقدار کارایی هر فاکتور	y_i
علائم یونانی	
ویسکوزیته دینامیکی، $Pa.s$	μ
دانسیته، kg/m^3	ρ
زیرنویس ها	
سیال	f
وروودی	in
خروجی	out
جامد	s
دیوار	w

است. نتایج حاصل از شبیه سازی های عددی انجام شده تحت شرایط بهینه برای عدد ناسلت، ضریب اصطکاک فانینگ و ضریب کارایی گرمایی کل، به ترتیب برابر $23/55$ دسی بل، $27/33$ دسی بل و $5/76$ دسی بل است. بر اساس آزمایش های تاییدیه، نیجه گرفته می شود که تطابق خوبی بین مقادیر پیش بینی شده و مقادیر شبیه سازی عددی وجود دارد. خطای نسبی مقادیر پیش بینی شده نسبت به مقادیر شبیه سازی شده، برای عدد ناسلت، ضریب اصطکاک فانینگ و ضریب کارایی گرمایی کل، به ترتیب برابر $2/39\%$ ، $2/23\%$ و $4/12\%$ است.

۵- نتیجه گیری

در این مطالعه، برای اولین بار مشخصات گرمایی- هیدرولیکی جریان سیال آب در یک چاه گرمایی استوانه ای با مینی کانال های مستقیم منقطع شامل تولید کننده ورتسکس طولی پیچشی با استفاده از الگوریتم تاگوچی و آنالیز آماری واریانس به صورت عددی بررسی شد. چهار فاکتور طراحی شامل زاویه تولید کننده ورتسکس نسبت به محور طولی، عدد رینولدز، زاویه پیچش تولید کننده ورتسکس و موقعیت تولید کننده ورتسکس در محل های انقطاع در چهار سطح در نظر گرفته شد. نتایج مهم بدست آمده از این مطالعه به شرح زیر است:

۱- عدد رینولدز، فاصله تولید کننده ورتسکس از ابتدای بخش منقطع و زاویه تولید کننده ورتسکس نقش قابل توجهی در ضریب کارایی گرمایی کل دارد.

۲- مهمترین فاکتور تاثیرگذار بر عدد ناسلت و ضریب اصطکاک فانینگ، عدد رینولدز است که نسبت سهم آن بیش از 90% است.

۳- بیشترین نسبت سهم فاصله تولید کننده ورتسکس از ابتدای بخش منقطع و زاویه تولید کننده ورتسکس، بر پارامترهای خروجی به ترتیب برابر $19/22\%$ و $11/89\%$ است.

۴- استفاده از تولید کننده ورتسکس در مینی کانال های منقطع، انتقال گرما و افت فشار را بطور همزمان افزایش می دهد و باعث بهبود ضریب کارایی گرمایی کل می گردد.

۵- با توجه به نسبت های میانگین سیگنال به نویز، شرایط بهینه برای ضریب کارایی گرمایی کل برابر A3B4C2D1 است. نتایج این پژوهش می تواند برای کاربردهای آینده در رابطه با خنک نمودن منابع گرمایی استوانه ای مانند باتری های ماشین های هیبریدی، لیزر های توان بالا و میکرو راکتورهای استوانه-

مراجع

- [12] Abdulhaleem A.A, Jaffal H.M and Khudhur D.S (2019) Performance optimization of a cylindrical mini-channel heat sink using hybrid straight-wavy channel. *Int. J. Therm. Sci.* 146: 106111.
- [13] Hsiao K.Y, Wu C.Y and Huang Y.T (2014) Fluid mixing in a microchannel with longitudinal vortex generators. *Chem. Eng. J.* 235: 27-36.
- [14] Khoshvaght-Aliabadi M, Zangouei S and Hormozi F (2015) Performance of a plate-fin heat exchanger with vortex-generator channels: 3D-CFD simulation and experimental validation. *Int. J. Therm. Sci.* 88: 180-192.
- [15] Ebrahimi A, Roohi E and Kheradmand S (2016) Nanofluid flow and heat transfer in a microchannel with longitudinal vortex generators: Two-phase numerical simulation. *Applied Thermal Engineering* 100: 179-189.
- [16] Ebrahimi A, Roohi E and Kheradmand S (2014) Numerical study of liquid flow and heat transfer in rectangular microchannel with longitudinal vortex generators. *Applied Thermal Engineering* 78: 576-583.
- [17] Datta A, Sanyal D and Kumar Das A (2016) Numerical investigation of heat transfer in microchannel using inclined longitudinal vortex generator. *Applied Thermal Engineering* 78: 1008-1019.
- [18] Zhang J.F, Jia L, Yang W.W, Taler J and Oclon P (2019) Numerical analysis and parametric optimization on flow and heat transfer of a microchannel with longitudinal vortex generators. *Int. J. Therm. Sci.* 141: 211-221.
- [19] Kumar Das A and Hiremath S.S (2022) Investigation on the Thermohydraulic Performance and Entropy Generation of Novel Butterfly-Wing Vortex Generator in a Rectangular Microchannel. *Thermal Science and Engineering Progress* 36: 101531.
- [20] Mohammadi M, Mazlumi S.H, Hassani S.M, Khoshvaght-Aliabadi M (2017) Improvement of hydrothermal performance of microchannel heat sinks using V-shap pin-fins and Al₂O₃/water nanofluid. *J. Solid Fluid Mech.*, 7: 211-228.
- [21] Bazkhane S and Zahmatkesh I (2020) Taguchi based sensitivity analysis of hydrodynamics and heat transfer of nanofluids in a microchannel heat sink (MCHS) having porous substrates. *International Communications in Heat and Mass Transfer* 118: 104885.
- [22] Heydari O, Miansari M, Arasteh H and Toghraie D (2021) Optimizing the hydrothermal performance of helically corrugated coiled tube heat exchangers using Taguchi's empirical method: energy and exergy analysis. *J. Therm. Analysis Calorimetry* 145: 2741-2752.
- [1] Fan Y, Lee P.S, Jin L.W, and Chua B.W (2013) A simulation and experimental study of fluid flow and heat transfer on cylindrical oblique-finned heat sink. *Int. J. Heat Mass Trans.* 61: 62-72.
- [2] Zhou H, Zhou F, Zhang Q, Wang Q and Song Z (2019) Thermal management of cylindrical lithium-ion battery based on a liquid cooling method with half-helical duct. *Applied Thermal Engineering* 162:11425761.
- [3] Aghel B, Rahimi M, Sepahvand A, Alitabar M, and Ghasempour H.R (2014) Using a Wire coil insert for biodiesel production enhancement in a microreactor. *Energy Conversion Management* 84:541-549.
- [4] Khosravi R, Rabiei S, Bahiraei M, and Teymourtash A (2019) Predicting entropy generation of a hybrid nanofluid containing graphene–platinum nanoparticles through a microchannel liquid block using neural networks. *International Communications in Heat and Mass Transfer* 109:104351.
- [5] Jeong J.H, Hah S, Kim D, Lee J.H, and Kim S.M (2020) Thermal analysis of cylindrical heat sinks filled with phase change material for high-power transient cooling. *Int. J. Heat Mass Trans* 154:119725.
- [6] Bahoosh R. and A.R. Falahat (2020) Heat transfer of nanofluid through helical minichannels with secondary branches. *Heat and Mass Transfer* 57: 703-714.
- [7] Rabiei S, Khosravi R, Bahiraei M, Raziei M, and Ahmadian Hosseini A.J (2020) Thermal and hydraulic characteristics of a hybrid nanofluid containing graphene sheets decorated with platinum through a new wavy cylindrical microchannel. *Applied Thermal Engineering* 181:115981.
- [8] Fan Y, Lee P.S, Jin L.W. and Chua B.W (2014) Experimental investigation on heat transfer and pressure drop of a novel cylindrical oblique fin heat sink. *Int. J. Therm. Sci.* 76: 1-10.
- [9] Falahat A.R, Bahoosh R and Noghrehabadi A.R (2018) A numerical investigation of heat transfer and pressure drop in a novel cylindrical heat sink with helical minichannels. *J. Heat mass trans. research* 5: 11-26.
- [10] Falahat A.R, Bahoosh R, Noghrehabadi A.R and Rashidi M.M (2019) Experimental study of heat transfer enhancement in a novel cylindrical heat sink with helical minichannels. *Applied Thermal Engineering* 154: 585-592.
- [11] Khalifa M.A and Jaffal H.M (2019) Effects of channel configuration on hydrothermal performance of the cylindrical mini-channel heat sinks. *Applied Thermal Engineering* 148: 1107-1130.

- [27] Etghani M.M and Hosseini Baboli S.A (2017) Numerical investigation and optimization of heat transfer and exergy loss in shell and helical tube heat exchanger. *Applied Thermal Engineering* 121: 294-301.
- [28] Li Y, Yang B, Wang Zh and Guo Q (2024) Investigation on the thermal and hydraulic characteristics of the micro heat sinks with grooves and pin fins by Taguchi-based sensitivity analysis. *Applied Thermal Engineering* 249: 123454.
- [29] Roy R.K (2001) Design of experiments using Taguchi approach. Jhon Wiley & Sons, New York.
- [30] Krishnaiah K and Shahabudeen P (2012) *Applied Design of Experiments and Taguchi Methods*. PHI Learning Pvt. Ltd.
- [23] Falahat A.R (2023) Sensitivity analysis of boehmite alumina nanofluid in a novel cylindrical heat sink with hybrid helical-straight minichannels using the Taguchi method and statistical analysis. *Int. J. Therm. Sci.* 185: 108035.
- [24] Khaki Jamei M and Abbasi M (2017) Numerical investigation of nano-fluid on mico channel heat sink efficiency using the Taguchi method. *J. Solid Fluid Mech.*, 7: 275-287.
- [25] Chai L, Xia G, Zhou M, Li J and Qi J (2013) Optimum thermal design of interrupted microchannel heat sink with rectangular ribs in the transverse microchambers. *Applied Thermal Engineering*, 51: 880–889.
- [26] Azizi Z, Alamdari A and Malayeri M.R (2016) Thermal performance and friction factor of a cylindrical microchannel heat sink cooled by Cu-water nanofluid. *Applied Thermal Engineering* 99: 970–978.